

# Visão computacional - 2020/2

## Relatório PS4

Tiago Araújo Mendonça

### [Código fonte](#)

Em todas as questões (exceto a 3) é opcional passar um parâmetro na linha de comando para especificar a imagem ou vídeo utilizado, se não for usado, uma imagem padrão é utilizada.

### Questão 1

Nesta questão, são usados vídeos como parâmetro de entrada. O algoritmo captura os dois primeiros quadros do vídeo e utiliza-os para obter o *optical flow*.

A implementação foi baseada no pseudocódigo do algoritmo original de Horn-Schunk abaixo, com pequenas modificações.

```
1: for  $y = 1$  to  $N_{rows}$  do
2:   for  $x = 1$  to  $N_{cols}$  do
3:     Compute  $I_x(x, y)$ ,  $I_y(x, y)$ , and  $I_t(x, y)$  ;
4:     Initialize  $u(x, y)$  and  $v(x, y)$  (in even arrays);
5:   end for
6: end for
7: Select weight factor  $\lambda$ ; select  $T > 1$ ; set  $n = 1$ ;
8: while  $n \leq T$  do
9:   for  $y = 1$  to  $N_{rows}$  do
10:    for  $x = 1$  to  $N_{cols}$  {in alternation for even or odd arrays} do
11:      Compute  $\alpha(x, y, n)$ ;
12:      Compute  $u(x, y) = \bar{u} - \alpha(x, y, n) \cdot I_x(x, y, t)$  ;
13:      Compute  $v(x, y) = \bar{v} - \alpha(x, y, n) \cdot I_y(x, y, t)$  ;
14:    end for
15:  end for
16:   $n := n + 1$ ;
17: end while
```

O parâmetro T representa o número de iterações no algoritmo, esse parâmetro foi variado e por final seu valor foi definido como 7. O parâmetro  $\lambda$  que define o impacto da suavidade foi utilizado como 0.1 como sugerido no livro da disciplina.

### Algoritmo:

O primeiro passo é obter as matrizes chamadas de  $f_x$ ,  $f_y$  e  $f_t$ . Estas matrizes indicam para cada localização  $(x, y)$  existente nas imagens  $t$  e  $(t+1)$  o valor de  $I_x$ ,  $I_y$  e  $I_t$ , estes valores relacionam a imagem  $t$  com a imagem  $(t+1)$ . Armazenar os valores de  $I_x$ ,  $I_y$  e  $I_t$  em matrizes

no início do algoritmo permite otimizar o código, pois esses valores não precisam ser calculados novamente.

Os parâmetros  $I_x$ ,  $I_t$ ,  $I_y$  representam respectivamente as variações descritas no livro:

$$\cdot \frac{\partial I}{\partial x}(x, y, t) \quad \frac{\partial I}{\partial y}(x, y, t) \quad \frac{\partial I}{\partial t}(x, y, t)$$

O cálculo desses parâmetros foi implementado de duas maneiras diferentes:

1. Utilizando a aproximação originalmente usada no algoritmo de Horn S.:

$$\begin{aligned} I_x(x, y, t) = & \frac{1}{4} [I(x+1, y, t) + I(x+1, y, t+1) \\ & + I(x+1, y+1, t) + I(x+1, y+1, t+1)] \\ & - \frac{1}{4} [I(x, y, t) + I(x, y, t+1) + I(x, y+1, t) + I(x, y+1, t+1)] \end{aligned} \quad (4.24)$$

$$\begin{aligned} I_y(x, y, t) = & \frac{1}{4} [I(x, y+1, t) + I(x, y+1, t+1) \\ & + I(x+1, y+1, t) + I(x+1, y+1, t+1)] \\ & - \frac{1}{4} [I(x, y, t) + I(x, y, t+1) + I(x+1, y, t) + I(x+1, y, t+1)] \end{aligned} \quad (4.25)$$

$$\begin{aligned} I_t(x, y, t) = & \frac{1}{4} [I(x, y, t+1) + I(x, y+1, t+1) \\ & + I(x+1, y, t+1) + I(x+1, y+1, t+1)] \\ & - \frac{1}{4} [I(x, y, t) + I(x, y+1, t) + I(x+1, y, t) + I(x+1, y+1, t)] \end{aligned} \quad (4.26)$$

2. Utilizando a aproximação discreta de Sobel, onde:

$$I_x = S_x$$

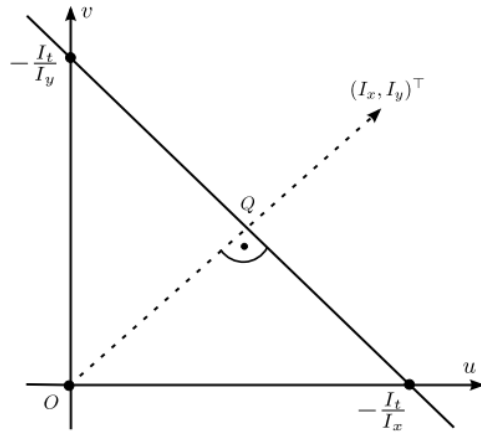
$$I_y = S_y$$

$$I_t = \text{Imagem}_{t-1} - \text{Imagem}_t$$

Após calcular as matrizes  $f_x$ ,  $f_y$  e  $f_t$ , o passo seguinte inicializa as matrizes  $u$  e  $v$  (iteração  $n=0$ ). Foram implementadas duas formas de inicializar estas matrizes:

1. Inicializar ambas com todos os valores  $u_{xy}$  e  $v_{xy}$  como 0
2. Obter o ponto  $Q$  no plano  $uv$  que é o ponto mais próximo da origem considerando a

reta representada por  $-\bar{I}_t = u \cdot \bar{I}_x + v \cdot \bar{I}_y$ , conforme a imagem abaixo:



O cálculo de Q foi realizado pela projeção do ponto (0,0) na reta

Após estas inicializações, o algoritmo inicia suas iterações de  $n=1$  até  $n=T$ . Para cada iteração  $n$ , em todas as localizações  $(x, y)$  são (re)calculadas as médias  $\bar{u}(x,y)$  e  $\bar{v}(x,y)$  para a adjacência de 4 pixels desta localização, e em seguida calculado o valor de alpha:

$$\alpha(x, y, n) = \frac{I_x(x, y)\bar{u}_{xy}^n + I_y(x, y)\bar{v}_{xy}^n + I_t(x, y)}{\lambda^2 + I_x^2(x, y) + I_y^2(x, y)}$$

Este valor alpha é utilizado para calcular os novos valores para as matrizes  $u$  e  $v$  daquela iteração:

$$\begin{aligned} u(x, y) &= \bar{u} - \alpha(x, y, n) \cdot I_x(x, y, t) ; \\ v(x, y) &= \bar{v} - \alpha(x, y, n) \cdot I_y(x, y, t) ; \end{aligned}$$

Por fim, é calculada e exibida a média da diferença entre a matriz  $u$  da iteração  $n$  e a matriz  $u_{\text{anterior}}$  da iteração  $(n-1)$ . O mesmo é feito para a matriz  $v$ :

```
media_diferenca_u = np.mean(np.abs(np.subtract(u, u_anterior).flatten()))
media_diferenca_v = np.mean(np.abs(np.subtract(v, v_anterior).flatten()))
```

Estas médias são exibidas no terminal, neste relatório são chamadas de  $\tilde{U}$  e  $\tilde{V}$ .

### Análise:

Conforme as implementações discutidas acima, podemos executar o algoritmo de 4 formas diferentes:

- |  |  |
|--|--|
| 1. Inicializar $u$ e $v$ como <b>0</b>       | / Utilizar aproximação de <b>Horn S.</b> |
| 2. Inicializar $u$ e $v$ como <b>ponto Q</b> | / Utilizar aproximação de <b>Horn S.</b> |
| 3. Inicializar $u$ e $v$ como <b>0</b>       | / Utilizar aproximação de <b>Sobel</b>   |
| 4. Inicializar $u$ e $v$ como <b>ponto Q</b> | / Utilizar aproximação de <b>Sobel</b>   |

Ao executar o programa, para o par de quadros do vídeo passado como parâmetro serão calculados e exibidos os resultados para estas 4 possibilidades (chamadas de PASSOS).

Ao trocar as aproximações de Horn S. pela aproximação Sobel, as médias  $\tilde{U}$  e  $\tilde{V}$  começam maiores nas primeiras iterações e decrescem um pouco mais lentamente. Esta aproximação obtém matrizes u e v com mais diferenças entre as iterações. Pelos resultados exibidos, a aproximação de Sobel faz com que mais movimentos sejam detectados.

Variando entre as inicializações com 0 ou Q as médias  $\tilde{U}$  e  $\tilde{V}$  não tiveram muito impacto, apenas decresceram um pouco mais rápido. Os resultados também não foram muito diferentes.

As médias  $\tilde{U}$  e  $\tilde{V}$  poderiam ser utilizadas como critério de parada ao invés de definir um número fixo de iterações T, quando não há muita variação entre uma iteração e a outra, o algoritmo poderia ser interrompido. O parâmetro T=7 foi utilizado pois gerou uma boa variação entre as matrizes obtidas até a sétima iteração.

## Questão 2

Nesta questão, variei os parâmetros sp, cr e L para calcular o meanShift para a imagem da entrada. Utilizei três valores diferentes para cada parâmetro:

1. sp: [5, 12 e 25] conforme o exemplo do enunciado
2. cr: [19, 24, 25] conforme o exemplo do enunciado
3. L: [3, 5 e 7], parâmetros obtidos testando o algoritmo e baseando na descrição do livro para o parâmetro

Realizei três laços de repetição:

1. Variar entre os valores de sp e utilizar os valores do meio para cr e L
2. Variar entre os valores de cr e utilizar os valores do meio para sp e L
3. Variar entre os valores de L e utilizar os valores do meio para cr e sp

Os 9 resultados são exibidos ao final da iteração. Foram utilizadas as funções do OpenCV para o cálculo do meanShift.

Ao variar os valores de sp, a janela espacial usada para a segmentação muda de tamanho. Para valores maiores de sp foram obtidas segmentações maiores pois estas janelas consideram mais pixels.

Ao variar os valores de cr, a janela das cores considerada para a segmentação varia. Valores maiores de cr fazem com que os segmentos obtidos sejam maiores.

Por fim, variando o valor de L, o nível máximo da pirâmide da segmentação é alterado. Quanto maior o L, segmentações maiores são obtidas, a variação deste parâmetro foi a que teve mais impacto nos resultados.

## Questão 3

Esta questão recebe como parâmetro o caminho de uma pasta, onde devem estar os quadros utilizados no algoritmo, nomeados como [1.png, 2.png, 3.png, ...]. Ao utilizar mais de 6 quadros como entrada, é necessário alterar no algoritmo o número de linhas e

colunas da exibição dos resultados (parâmetros `n_colunas` e `n_linhas`). Para cada quadro, são calculados:

1. As bordas da imagem, utilizando a função `Canny` do OpenCV. Estas bordas são usadas para o cálculo das linhas da imagem.
2. As linhas da imagem, utilizando a função `HoughLinesP` do OpenCV. Estas linhas são exibidas em vermelho nos resultados
3. Os cantos da imagem, utilizando a função `goodFeaturesToTrack` do OpenCV. Estes cantos “fortes” são exibidos em verde nos resultados. Estes cantos são necessários para o cálculo dos “subcantos”, que são os cantos refinados pela localização do subpixel.
4. Os subcantos da imagem, utilizando a função `cornerSubPix` do OpenCV. Estes subcantos são exibidos em azul nos resultados.

Os parâmetros passados para as funções em cada cálculo foram obtidos por experimentação.

A distorção de lente das imagens dificulta a obtenção dos quatro elementos mencionados, pois os cantos são “deslocados” de sua posição original. Existem ferramentas para correção da distorção destas imagens, para que a obtenção dos cantos seja melhor. Outros elementos que dificultam a obtenção dos elementos são ruídos na imagem e variações na iluminação.